

鹿島建設

正員 藤津卓司

九州大学工学部

吉村虎藏

ク

学生員

大塚久哲

1. まえがき

近年都市において、すぐれたねじり剛性を持った曲線箱析橋が高架道路構造に数多く採用されているが、設計にあたっては、従来の断面形状不变の仮定に基いた曲げねじり理論⁽¹⁾により解析されているようである。

一方曲線箱析の断面変形を考慮した解析法の研究も活発に行われてあり、その主なものに R. Dabrowski⁽²⁾, P.T.K. Lim⁽³⁾, 能町⁽⁴⁾, Y.K. Cheung⁽⁵⁾, K.M.A. Alam⁽⁶⁾, 坂井⁽⁷⁾等の研究がある。このうち、Y.K. Cheung⁽⁵⁾によて提唱されたF.S.M.（有限帶板法）を用いて、ここではまず断面変形が垂直応力（せきしやうりょく）（せきしやうりょく + 曲げ応力）に及ぼす影響を調べ、かつ曲げねじり理論による値および実験結果との比較を行い、ダイヤフラムを持たない場合の断面変形考慮の必要性を確かめた。次にこのF.S.M.と結合法とを組み合わせて、ダイヤフラムを持たない場合の断面変形考慮の必要性を確かめた。次にこのF.S.M.と結合法とを組み合わせて、ダイヤフラムを持たない場合の断面変形考慮の必要性を確かめた。次にこのF.S.M.と結合法とを組み合わせて、ダイヤフラムを持たない場合の断面変形考慮の必要性を確かめた。次にこのF.S.M.と結合法とを組み合わせて、ダイヤフラムを持たない場合の断面変形考慮の必要性を確かめた。

2. ダイヤフラムのない曲線箱析橋のF.S.M.による解法⁽⁵⁾

(i) ウエブの変位関数

曲線箱析橋は一般に図1に示すような円錐体の一部分である曲面板からなり、いま箱析両端において、 $U = W = 0$ 、橋軸方向変位 V の拘束なしにすれば変位関数は次のように書ける。式中 m は調和項数を示す。

$$U_m = \left\{ \left(1 - \frac{z}{d}\right) U_{im} + \left(\frac{z}{d}\right) U_{jm} \right\} \sin \frac{m\pi\theta}{d} \quad \dots \quad (1)$$

$$V_m = \left\{ \left(1 - \frac{z}{d}\right) V_{im} + \left(\frac{z}{d}\right) V_{jm} \right\} \cos \frac{m\pi\theta}{d} \quad \dots \quad (2)$$

$$W_m = \left\{ \left(1 - \frac{3z^2}{d^2} + \frac{2z^3}{d^3}\right) W_{im} + \left(z - \frac{2z^2}{d^2} + \frac{z^3}{d^3}\right) 4_{im} + \left(\frac{3z^2}{d^2} - \frac{2z^3}{d^3}\right) W_{jm} + \left(\frac{z^3}{d^2} - \frac{z^2}{d^3}\right) 4_{jm} \right\} \sin \frac{m\pi\theta}{d} \quad \dots \quad (3)$$

(ii) 上下フランジの変位関数

上下フランジの変位関数は、図1の中の特別な場合として説明できるが、基本となる扇形平板要素に対して図2のごとく座標系を定義すれば次のように書ける。

$$U_m = \left\{ \left(1 - \frac{R}{2}\right) U_{im} + \frac{R}{2} U_{jm} \right\} \sin \frac{m\pi\theta}{d} \quad \dots \quad (4)$$

$$V_m = \left\{ \left(1 - \frac{R}{2}\right) V_{im} + \frac{R}{2} V_{jm} \right\} \cos \frac{m\pi\theta}{d} \quad \dots \quad (5)$$

$$W_m = \left\{ \left(1 - \frac{3}{4}R^2 + \frac{1}{4}R^3\right) W_{im} + b(R - R^2 + \frac{1}{4}R^3) 4_{im} + \left(\frac{3}{4}R^2 - \frac{1}{4}R^3\right) W_{jm} + b\left(\frac{1}{4}R^3 - \frac{1}{2}R^2\right) 4_{jm} \right\} \sin \frac{m\pi\theta}{d} \quad \dots \quad (6)$$

ここで $R = (r - r_i)/b$, $b = (r_j - r_i)/2$ である。

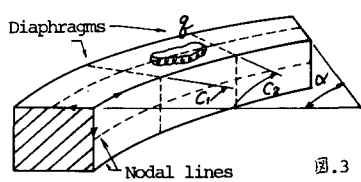
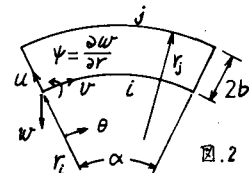
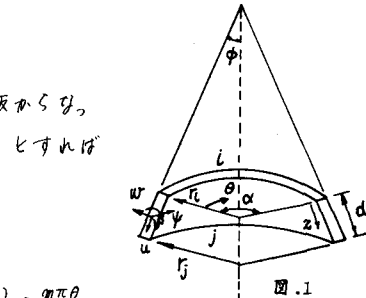
以上(i)(ii)の変位関数を変位-ひずみの関係式に代入し、エネルギー原理を適用すれば、所要の剛性マトリックスを得る。

3. 複数個のダイヤフラムを持つ曲線箱析橋の解法

説明の簡略化のため、2枚のダイヤフラムを持つ場合を例とする。ここではダイヤフラムと箱析は直交する2つの面内力 P , Q によるのみ結合されるものと仮定する。

(a) 外力系(X₀系) (図3)

ダイヤフラムを取り除いた曲線箱析に、与えられた外荷重が作用する場合を、F.S.M.で解き、ダイヤフラムとの結合点での各 nodal line の変位ベクトル $\{\delta_0\}$ を求める。



$$\{\delta_0\} = \{u_{11}^0 w_{11}^0 u_{12}^0 w_{12}^0 \dots u_{im}^0 w_{im}^0 u_{i2}^0 w_{i2}^0 \dots u_{in}^0 w_{in}^0\}^T \quad \dots \quad (7)$$

ここに右肩の添字は系を示し、右下のオーバー添字はダイヤフラムの番号、オーバー2添字はダイヤフラムとの結合点の番号をそれぞれ示す。

(b) X_1 系 (図4)

ダイヤフラムおよび外荷重を取り除いた曲線箱析に、不静定余力：

$$\{X_1\} = \{P'_1 Q'_{11} P'_1 Q'_{12} \dots P'_{im} Q'_{im} P'_{i2} Q'_{i2} \dots P'_{in} Q'_{in}\}^T \quad \dots \quad (8)$$

をかけ、次式における換算 Flexibility Matrix $[F_1]$ を求める。

$$\sum_{m=1}^k \{\delta_m\} = \sum_{m=1}^k [F_{1m}] \{X_{1m}\} = \sum_{m=1}^k \frac{1}{\alpha} \begin{pmatrix} [F_{1m}] & 0 \\ 0 & [F_{1m}] \end{pmatrix} \begin{pmatrix} [SC_1^2] & [SC_1 SC_2] \\ [SC_1 SC_2] & [SC_2^2] \end{pmatrix} \begin{pmatrix} P'_m \\ Q'_{im} \\ P'_{im} \\ Q'_{im} \end{pmatrix} = [F_1] \begin{pmatrix} P'_m \\ Q'_{im} \\ P'_{im} \\ Q'_{im} \end{pmatrix} \quad \dots \quad (9)$$

ここに、 $[SC_1^2]$ は $\sin^2 \frac{m\pi C_1}{\alpha}$ を要素とする対角行列を示す。同様に $SC_1 \cdot SC_2 = \sin \frac{m\pi C_1}{\alpha} \sin \frac{m\pi C_2}{\alpha}$, $SC_2^2 = \sin^2 \frac{m\pi C_2}{\alpha}$ 。

(c) X_2 系 (図5)

ダイヤフラムを三角形要素に分割し、平面応力問題に対する剛性マトリックス $[K_2]$ を求める。

$$\{X_2\} = [K_2] \{\delta_0\} \quad \dots \quad (10)$$

(d) 不静定余力 $\{X_1\}$ を求める。

変位の適合条件より、 $\{\delta_0\} + \{\delta_1\} = \{\delta_2\}$ $\dots \dots \dots \quad (11)$

箱析ヒダイヤフラムの間の力のつり合条件より $\{X_1\} + \{X_2\} = 0$ $\dots \dots \dots \quad (12)$

式(11), (12)を(10)に代入して、 $\{X_1\} = -(\mathbb{I} + [K_2][F_1])^{-1}[K_2]\{\delta_0\}$ $\dots \dots \dots \quad (13)$

なる不静定余力を求め、与えられた外荷重とこの力 $\{X_1\}$ を同時に曲線箱析にかけて、解釈すればよい。

4. 模型実験結果と理論値との比較

図6に示す断面寸法を持つ中央円弧長120cm, 中心角60°の一室曲線箱析をアクリル樹脂により製作し、中間ダイヤフラムを持たない場合(Case A)ヒスパン中央に1枚(厚さ0.3cm)持つ場合(Case B)について静的載荷実験を行った。

いまスパン中央断面の点Iに集中荷重10kgが作用するとき、ひずみ測定点Aを通る同心円上の接線方向応力分布を求めれば、図7(a)のようになる。同様にスパン中央断面の点Iに載荷したときの応力分布は、図7(b)のようになる。実験値とF.S.M.による結果とは大体一致しており、本解析法の妥当性が確かめられたといえよう。曲げねじり理論は、あくまでダイヤフラムのある場合の実験値に近い値となり、いろいろ、断面変形やダイヤフラムの影響を考慮できりいため、載荷断面ヒダイヤフラムの取り付け位置で、実験値との差が大きいようである。

参考文献 (1) 小西・小松: 単純支持曲線箱析の立體的解析、土木学会論文集第48号 S.382 (2) Dabrowski: Näherungsberechnung der gekrümmten kastenträger mit verformbaren Querschnitten, Proc. Publ. 7th Cong. IABSE, 1964. (3) Limke: Finite Element Analysis of Curved Box Girder Bridges, Development in Bridge Design and Construction, 1971. (4) 鹿野・吉田: 断面変形を考慮した曲面箱析の応力解析、土木学会論文報告集、第187号、1971.3 (5) Cheung: Analysis of Curved Box Girder Bridges by Finite Strip Method, Publications IABSE, 31-I, 1971. (6) Alamee: Curved Box Girder Bridges with Intermediate Diaphragms and Supports, Publications IABSE, 33-II, 1973. (7) 旗井・中村:薄肉曲面ボリュームの板殻構造ヒヤーの解析、土木学会論文報告集、オ-25号、1975.3.

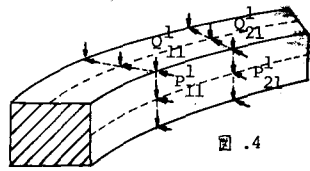


図.4

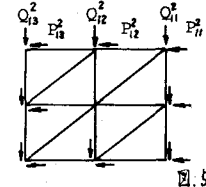


図.5

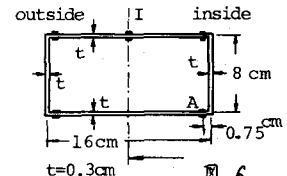


図.6

